

---

## СТРАНИЧКА МОЛОДОГО УЧЕНОГО

---

УДК 665.642:547.9

DOI: 10.15372/KhUR20180214

# Изменения состава и структуры асфальтенов нефти Усинского месторождения в процессе последовательного ступенчатого термического разложения

Д. С. КОРНЕЕВ<sup>1</sup>, Г. С. ПЕВНЕВА<sup>1</sup>, А. К. ГОЛОВКО<sup>1,2</sup>

<sup>1</sup>Институт химии нефти Сибирского отделения РАН,  
Томск, Россия

E-mail: korneev@ipc.tsc.ru

<sup>2</sup>Институт нефтегазовой геологии и геофизики им. А. А. Трофимука Сибирского отделения РАН,  
Томск, Россия

(Поступила 07.11.17)

### Аннотация

Исследованы изменения состава и структуры макромолекул асфальтенов Усинского месторождения в процессе последовательного ступенчатого термического разложения при температурах 120, 230, 370 °C. Получены данные о компонентном составе продуктов термолиза, описаны изменения структурно-групповых характеристик средних молекул асфальтенов в процессе термообработки. Установлено, что до 230 °C реакции деструкции асфальтенов преобладают над реакциями конденсации, тогда как выше 230 °C доминируют реакции уплотнения. Показано, что в процессе ступенчатого термолиза асфальтенов нефти Усинского месторождения склонность гетероатомов к накоплению в продуктах уплотнения возрастает в ряду S → N → O.

**Ключевые слова:** тяжелая нефть, ступенчатый термолиз, асфальтены, состав, структура, структурно-групповой анализ

### ВВЕДЕНИЕ

Нефтяное сырье традиционно является одним из важнейших сегментов мирового и российского топливно-энергетического комплекса [1]. На современном этапе развития нефтяной промышленности наблюдается тенденция перехода от легкого углеводородного сырья к тяжелой нефти и природным битумам [2–4]. Основные проблемы при добыче и переработке тяжелого углеводородного сырья связаны с высоким содержанием в нем высокомолеку-

лярных гетероорганических веществ – асфальтенов [2]. Очевидно, что без понимания химической природы асфальтенов крайне затруднительно прогнозировать их поведение в промышленных процессах и разрабатывать эффективные подходы к добыче и переработке тяжелых и битуминозных нефтей.

В настоящее время активно исследуются состав, свойства и структура молекул и агрегатов асфальтенов [5]. Одним из важнейших направлений в изучении структурной организации асфальтеновых веществ является раз-

ТАБЛИЦА 1

Физико-химические свойства усинской нефти

$\rho_{20}$ , кг/м <sup>3</sup>	$v_{20}$ , м <sup>2</sup> /с	Элементный состав, мас. %					Вещественный состав, мас. %		
		C	H	N	S	O	Масла	Смолы	Асфальтены
966.7	3.9	84.9	12.0	0.6	2.0	0.5	73.9	18.0	8.1

деление их на фракции за счет различной растворимости и сорбционной способности компонентов, входящих в состав асфальтенов, и последующий анализ полученных фракций с использованием комплекса физико-химических методов [6–10]. Кроме того, значительное внимание уделяется исследованию состава и структуры молекул и агрегатов асфальтенов методом термической и термокатализитической деструкции [11–14], а также направленности их трансформации в процессах крекинга тяжелых нефтяных систем [15, 16]. Несмотря на активные исследования молекул и агрегатов асфальтенов, природа их существования и поведения изучена недостаточно глубоко, в связи с чем актуально продолжение теоретической и экспериментальной работы для получения новых и систематизации имеющихся данных о составе, структурной организации и термической стабильности асфальтенов.

Цель данной работы – исследование изменений состава и структуры молекул асфальтенов Усинского месторождения в процессе ступенчатого термолиза.

## ЭКСПЕРИМЕНТАЛЬНАЯ ЧАСТЬ

Для проведения экспериментов выделены асфальтены из тяжелой высоковязкой нефти

Усинского месторождения с высоким содержанием смолисто-асфальтеновых веществ (табл. 1).

Асфальтены выделяли по стандартной методике путем добавления к навеске нефти 40-кратного избытка *n*-гексана и выдерживания смеси в течение 1 сут в темном месте. Будучи веществами, нерастворимыми в низших алканах [2], асфальтены выпадали в осадок, который отделялся от раствора методом фильтрации. Выделенные из нефти исходные асфальтены очищались *n*-гексаном от сорбированных масел и смол в аппарате Сокслета. Максимально возможная степень очистки асфальтенов считалась достигнутой, когда растворитель, многократно проходящий через слой асфальтенов, становился бесцветным, что определялось как отсутствие в их составе мальтенов (масла + смолы). Очищенные асфальтены освобождались от растворителя и сушились до постоянной массы.

Характеристики асфальтенов Усинского месторождения установлены с помощью структурно-группового анализа (СГА) [17], разработанного в ИХН СО РАН, который позволяет количественно оценить средние структурно-групповые параметры веществ и на основании полученных данных описать их усредненную гипотетическую молекулу (табл. 2).

Структурно-групповой анализ базируется на данных об элементном составе, молекуляр-

ТАБЛИЦА 2

Характеристика средней молекулы исходных асфальтенов усинской нефти

ММ, а. е. м.	Элементный состав, мас. %					Распределение атомов $m_a$ , углерода, %				Количество углеродных атомов разного типа, ед.					Кольцевой состав, ед.		
	C	H	N	S	O	$f_a$	$f_h$	$f_n$	$C_a$	$C_h$	$C_n$	$C_\alpha$	$C_\gamma$	$K_o$	$K_a$	$K_{\text{нас}}$	
1600	83.6	7.8	1.2	3.0	4.4	42.1	52.7	5.2	3.3	47.0	58.7	5.8	16.5	5.8	26.0	11.5	14.5

*Примечание.* ММ – молекулярная масса;  $f_a$ ,  $f_h$ ,  $f_n$  – доля атомов углерода в ароматических, нафтеновых и алифатических фрагментах соответственно;  $C_a$ ,  $C_h$ ,  $C_n$  – количество атомов углерода в ароматических, нафтеновых, алифатических фрагментах соответственно;  $C_\alpha$ ,  $C_\gamma$  – количество атомов углерода в  $\alpha$ -положении по отношению к ароматическим ядрам и гетерофункциям ( $C_\alpha$ ), а также в терминальных метильных группах ( $C_\gamma$ );  $m_a$  – количество структурных блоков в средней молекуле;  $K_o$ ,  $K_a$ ,  $K_{\text{нас}}$  – общее число колец в средней молекуле, число ароматических и насыщенных циклов соответственно.

ной массе образца и  $H^1$  ЯМР-спектроскопии. Элементный состав асфальтенов определялся с помощью анализатора CHNS Vario EL Cube. Молекулярная масса измерялась криоскопическим методом в нафталине.  $H^1$  ЯМР-спектры регистрировались с помощью Фурье-спектрометра Avance-AV-300 (растворитель –  $CDCl_3$ , внутренний стандарт – гексаметилдисилоксан) при 1 % концентрации веществ.

Средняя молекулярная масса асфальтенов усинской нефти составляет 1600 а. е. м. Согласно данным СГА, усредненная молекула исходных асфальтенов представляет собой три структурных блока, состоящих из 11–12 ароматических и 14–15 наftenовых циклов, имеющих в своем окружении до шести алифатических атомов углерода (см. табл. 2). В составе асфальтеновых молекул в значительных количествах присутствуют гетероатомы (S, N, O) с суммарным содержанием 8.6 мас. %.

Для выбора температурного режима ступенчатого термолиза асфальтенов использовались данные дифференциальной сканирующей калориметрии (ДСК). При температурах 120, 230, 370 °C фиксируются пики эндотермических эффектов (рис. 1). Это может свидетельствовать о ступенчатом термическом разложении, обусловленном наличием в молекулах асфальтенов химических связей, различающихся по энергии. Выше 400 °C наблюдается зона интенсивных экзотермических эффектов, накладывающихся друг на друга, что, очевидно, связано с преобладанием реакций конденсации над крекингом. Таким образом, структурные изменения в молекулах асфальтенов при термолизе до 370 °C могут быть обусловлены, главным образом, процессами термической деструкции, а выше 400 °C – реакция-

ми конденсации с образованием значительного количества продуктов уплотнения. Опираясь на данные ДСК, в качестве ступеней термолиза выбраны температуры 120, 230, 370, 450, 550, 650 °C, при которых последовательно проводился термолиз асфальтенов с отводом продуктов на каждой стадии.

Исследование методом ДСК выполнено с использованием прибора Netzsch STA 449F3A-0010-M в интервале температур 30–750 °C со скоростью нагрева 20 °C/мин. Навеска образца составляла 8 мг. Обработка данных осуществлялась с помощью программного обеспечения Netzsch Proteus.

Термическое разложение асфальтенов проводилось в закрепленной в печи кварцевой трубке объемом 25 см<sup>3</sup> со скоростью нагрева 20 °C/мин. Навеска асфальтенов (3 г) загружалась в кварцевый тигель, который помещался в кварцевую трубку. Термолиз проходил в инертной среде в токе азота с объемной скоростью подачи 25–30 см<sup>3</sup>/мин до полного удаления продуктов реакций из зоны термолиза. Таким образом, проточный режим процесса позволял выводить образующиеся вещества из реакционной зоны и минимизировать протекание вторичных реакций. Летучие продукты термолиза поступали в конденсатор-холодильник, где выделялась жидккая фаза, тогда как газообразные продукты улавливались на выходе из холодильника. После термолиза асфальтены загружались в бумажный патрон и очищались н-гексаном от мальтенных в аппарате Сокслета, как описано выше. Далее их извлекали хлороформом, высушивали до постоянной массы и загружали в кварцевый тигель для проведения термолиза на следующей ступени. Оставшиеся в бумажном патроне нерастворимые продукты уплотнения – карбено-карбоиды (“кокс”) – сушили и доводили до постоянной массы. Отобранные во время термолиза и выделенные в процессе очистки асфальтенов мальтены объединяли и также высушивали до постоянной массы. Массу газа определяли по разности масс навески и образующихся жидких и твердых продуктов реакций.

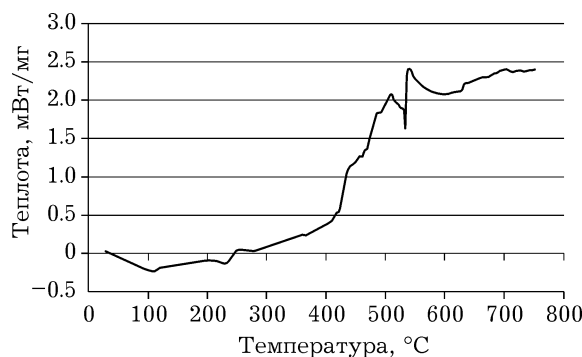


Рис. 1. ДСК асфальтенов Усинского месторождения.

## РЕЗУЛЬТАТЫ И ОБСУЖДЕНИЕ

Определен состав продуктов ступенчатого термолиза асфальтенов Усинского месторож-

ТАБЛИЦА 3

Состав продуктов ступенчатого термолиза асфальтенов

Температура термолиза, °C	Состав, мас. %				
	Газ	Мальтены	“Кокс”	Остаточные асфальтены	Сумма
120	0.2	6.7	0.0	93.1	100
230	8.6	19.6	5.0	59.9	93.1
370	3.9	17.5	38.5	0.0	59.9
Общий выход	12.7	43.8	43.5	0.0	100

дения (табл. 3), а также элементный состав, молекулярная масса и структурно-групповые характеристики средней молекулы асфальтенов (табл. 4). Следует отметить, что термолиз асфальтенов при 370 °C приводит к их полной конверсии, поэтому при температурах 450, 550, 650 °C эксперименты не проводились ввиду отсутствия объекта исследования.

Термолиз исходных асфальтенов при 120 °C сопровождается образованием 6.7 мас. % мальтены и незначительного количества газообразных продуктов – 0.2 мас. % (см. табл. 3), что однозначно свидетельствует о термическом разложении асфальтенов. Нерастворимые

в CHCl<sub>3</sub> продукты уплотнения (“кокс”) отсутствуют на первой ступени термолиза асфальтенов. Анализ данных изменения структурно-группового состава (см. табл. 4) показал, что в ходе термолиза молекулярная масса средней молекулы асфальтенов возрастает на 360 а. е. м., в первую очередь, за счет увеличения на 15 ед. количества нафтеновых и ароматических колец. В результате средняя молекула остаточных асфальтенов (A120) представляет собой четыре структурных блока, что на один больше, чем у средней молекулы исходных асфальтенов (A0). При этом существенного изменения распределения атомов уг-

ТАБЛИЦА 4

Изменение структурно-групповых характеристик средней молекулы асфальтенов в процессе ступенчатого термолиза

Показатель	Образец		
	A0	A120	A230
ММ	1600	1960	1980
<i>Распределение атомов углерода по структурным фрагментам, отн. %</i>			
<i>f<sub>a</sub></i>	42.1	41.4	47.9
<i>f<sub>h</sub></i>	52.7	53.9	49.0
<i>f<sub>π</sub></i>	5.2	4.7	3.1
<i>Количество атомов углерода, ед.</i>			
<i>C<sub>a</sub></i>	47.0	57.5	66.8
<i>C<sub>h</sub></i>	58.7	74.8	68.3
<i>C<sub>π</sub></i>	5.8	6.6	4.3
<i>C<sub>α</sub></i>	16.5	20.9	22.5
<i>C<sub>γ</sub></i>	5.8	6.6	4.3
<i>Кольцевой состав, ед.</i>			
<i>K<sub>o</sub></i>	26.0	41.1	46.0
<i>K<sub>a</sub></i>	11.5	14.3	16.8
<i>K<sub>нас</sub></i>	14.5	26.7	29.2
<i>Количество структурных блоков в средней молекуле, ед.</i>			
<i>m<sub>a</sub></i>	3.3	4.0	4.4

лерода по структурным фрагментам не происходит: значения параметров  $f_a$ ,  $f_n$ ,  $f_p$  для A0 и A120 различаются примерно на 1 отн. %, что говорит о структурном подобии исходных молекул асфальтенов и фрагментов, присоединяющихся к ним. Другими словами, в ходе термических превращений асфальтенов при 120 °C сохраняется целостность структурных блоков исходных макромолекул и образующихся фрагментов. По данным элементного состава остаточных асфальтенов после термолиза при 120 °C, содержание C, H, N и S снижается на 7, 12, 4 и 6 мас. % соответственно по отношению к их исходной массе в A0, а содержание кислорода остается практически неизменным. Учитывая, что в нефти и нефтепродуктах атомы азота находятся, главным образом, в составе термически стабильных пиррольных и пиридиновых циклических систем, очевидно, что термическое разложение исходных асфальтенов при 120 °C протекает за счет распада нестабильных серосодержащих структурных фрагментов. На основании полученных данных можно заключить, что в процессе термолиза при 120 °C молекулы асфальтенов претерпевают структурно-групповые изменения в результате: 1) термической деструкции лабильных алифатических серосодержащих структур с образованием 6.7 мас. % малттенов и 0.2 мас. % газообразных продуктов; 2) присоединения крупных нафеноароматических блоков через алифатические цепи с увеличением молекулярной массы на 360 а. е. м.

Последующее термическое разложение оставшихся после термолиза при 120 °C асфальтенов проводилось при 230 °C и сопровождалось практически 40 % конверсией исходных асфальтенов с образованием большого количества газа (8.6 мас. %), малттенов (19.6 мас. %) и значительно меньшего количества коксолюбого остатка – 5.0 мас. % (см. табл. 3). Это свидетельствует о преобладании реакций крекинга асфальтенов, тогда как реакции конденсации вносят меньший вклад в образование продуктов термолиза. При этом остаточные асфальтены A230 характеризуются незначительным по сравнению с A120 (на 20 а. е. м.) увеличением средней молекулярной массы. При этом они претерпевают серьезные структурно-групповые изменения, в частности, на-

бллюдаются уплотнение и ароматизация макромолекул A230. Так, среднее число структурных блоков увеличилось до 4–5 ед. за счет увеличения циклов на 5 ед., при этом вклад ароматических и нафтеновых колец практически одинаковый. Количество атомов углерода в алифатических фрагментах снизилось на 2 ед. Об основных тенденциях в изменении строения асфальтеновых молекул в процессе ступенчатого термолиза можно судить по относительному распределению атомов углерода в структурных фрагментах: для A230 величина  $f_a$  выросла на 6.5 отн. %, а  $f_n$  и  $f_p$  уменьшились на 4.9 и 1.6 отн. % соответственно по сравнению с A120. Очевидно, что снижение показателей  $f_n$  и  $f_p$  обусловлено деструкцией алифатических цепей и нафтеновых циклов в асфальтеновых молекулах, в то время как ароматические кольца, по-видимому, стабильны при данной температуре. Неожиданными оказались данные о динамике изменений элементного состава асфальтенов: в молекуле A230 содержится 98.2 отн. % атомов кислорода от их исходного количества в A0. Практически половина исходной серы осталась в структуре A230, что, учитывая деструкцию сульфидных связей при 120 °C, указывает на ароматическую природу серосодержащих фрагментов A230. Около 30 отн. % азота также находится в составе молекул A230.

Термолиз остаточных асфальтенов A230 при температуре 370 °C приводит к их полной конверсии и образованию 3.9 % газа, 17.5 мас. % малттенов и 38.5 мас. % “кокса”. Высокий выход нерастворимого коксолюбого остатка обусловлен пониженным потенциалом образования низкомолекулярных продуктов реакций по сравнению с высокомолекулярными из-за более уплотненной и ароматической структуры усредненной молекулы остаточных асфальтенов A230, подвергнутых термолизу при 370 °C. Таким образом, на третьей ступени термолиза асфальтенов реакции конденсации преобладают над реакциями распада.

Анализ динамики изменений элементного состава асфальтенов выявил тенденцию накопления кислорода в высокомолекулярных продуктах термолиза: его содержание в A230 составляет 98.2 % от исходного в A0, а в “коксе” K370 – 86.6 отн. % (табл. 5). Доля серы в

## ТАБЛИЦА 5

Динамика удаления элементов из состава асфальтенов в процессе ступенчатого термолиза, отн. %

Элемент	Образец			
	A0	A120	A230	K370
C	100	93.1	59.6	39.5
H	100	87.9	48.4	9.9
N	100	96.1	71.0	58.2
S	100	94.2	54.9	28.5
O	100	99.9	98.2	86.6

ряду A120 > A230 > K370 уменьшалась на 5.8, 39.3, 16.4 отн. % соответственно, что указывает на ее интенсивное удаление из асфальтенов при температуре термолиза 230 °C. Таким образом, 28.5 отн. % атомов серы остается в “коксе”. В процессе термолиза при 230 °C из асфальтенов также удаляется наибольшее количество азота (25.1 отн. %), а на следующей ступени термолиза – лишь 12.8 отн. %. Вместе с тем доля атомов азота в K370 значительно выше, чем серы (58.2 отн. %). На основании полученных данных установлено, что при термолизе асфальтенов нефти Усинского месторождения склонность гетероатомов к накоплению в продуктах уплотнения возрастает в ряду S → N → O.

## ЗАКЛЮЧЕНИЕ

В результате последовательного ступенчатого термического разложения асфальтенов нефти Усинского месторождения показано, что до 230 °C реакции деструкции преобладают над реакциями конденсации, тогда как с дальнейшим повышением температуры равновесие смещается в сторону образования продуктов уплотнения и доминируют реакции конденсации асфальтеновых макромолекул. Термолиз при 120 °C сопровождается распадом серосодержащих алифатических цепей с сохранением целостности нафтоароматических структурных блоков. Асфальтены A120 представляют собой продукт взаимодействия алкильных радикалов исходных молекул и образующихся фрагментов, которые являются

структурными аналогами. Увеличение количества нафтеновых и ароматических колец на 15 ед. приводит к увеличению молекулярной массы A120 на 360 а. е. м. На следующей ступени термолиза (230 °C) происходит деструкция алифатических цепей и нафтеновых циклов, что выражается в уменьшении доли атомов углерода в нафтеновых ( $f_n$ ) и алифатических ( $f_p$ ) фрагментах на 4.9 и 1.6 отн. % соответственно и увеличении их доли в ароматических фрагментах ( $f_a$ ) на 6.5 отн. %. Установлено, что в процессе последовательного ступенчатого термолиза асфальтенов нефти Усинского месторождения склонность гетероатомов к накоплению в продуктах уплотнения возрастает в ряду S → N → O.

## СПИСОК ЛИТЕРАТУРЫ

- Грунис Е. Б. // Геология нефти и газа. 2009. № 5. С. 2–9.
- Ancheyta H. Modeling of Processes and Reactors for Upgrading of Heavy Petroleum. CRC. Taylor & Francis Group, 2013. XXIII. 524 р.
- Muraza O., Galadima A. // Fuel. 2015. Vol. 157. P. 219–231.
- Искрицкая Н. И., Макаревич В. Н. // Георесурсы. 2014. № 4 (59). С. 35–39.
- Akbarzadeh K., Hammami A., Kharrat A., Zhang D., Allenson S., Creek J., Kabir S., Jamaluddin A., Marshall A. G., Rodgers R. P., Mullins O. C., Solbakken T. // Oilfield Review. 2007. Vol. 19, No. 2. P. 22–43.
- Bonoldi L., Flego C., Galasso G. // Energy Fuels. 2016. Vol. 30 (5). P. 3630–3636.
- Sergun V. P., Kovalenko E. Y., Sagachenko T. A., Min R. S. // Petroleum Chem. 2014. Vol. 54, No. 2. P. 83–87.
- Grinko A. A., Golovko A. K. // Petroleum Chem. 2011. Vol. 51, No. 3. P. 192–202.
- Petrova L. M., Abbakumova N. A., Foss T. R., Romanov G. V. // Petroleum Chem. 2011. Vol. 51, No. 4. P. 252–256.
- Schuler B., Meyer G., Pena D., Mullins O. C., Gross L. // J. Am. Chem. Soc. 2015. Vol. 137 (31). P. 9870–9876.
- Hauser A., Bahzad D., Stanislaus A., Behbahani M. // Energy and Fuels. 2008. Vol. 22, No. 1. P. 449–454.
- Rueda-Velasquez R. I., Freund H., Qian K., Olmstead W. N., Gray M. R. // Energy and Fuels. 2013. Vol. 27. P. 1817–1829.
- Kayukova G. P., Kiyamova A. M., Romanov G. V. // Petroleum Chem. 2012. Vol. 52, No. 1. P. 5–14.
- Grin'ko A. A., Golovko A. K. // Petroleum Chem. 2014. Vol. 54, No. 1. P. 42–47.
- Pevneva G. S., Golovko A. K., Korneev D. S., Levashova A. I. // Proc. Chem. 2014. Vol. 10. P. 15–19.
- Корнеев Д. С., Певнева Г. С., Головко А. К. // Технологии нефти и газа. 2016. № 4. С. 24–32.
- Golovko A. K., Kamyanov V. F., Ogorodnikov V. D. // Russ. Geology and Geophysics. 2012. Vol. 53, No. 12. P. 1374–1381.